

CDBA AKTİF ELEMANI KULLANILARAK GERÇEKLEŞTİRİLEN TÜM GEÇİREN FİLTRELER

Sadri ÖZCAN¹

Hakan KUNTMAN¹

Ali TOKER¹

¹İstanbul Teknik Üniversitesi, Elektrik Elektronik Fakültesi,
Elektronik ve Haberleşme Müh. Bölümü, 80626, Maslak, İstanbul,
sozcan@ehb.itu.edu.tr kuntman@ehb.itu.edu.tr alitoker@ehb.itu.edu.tr

Oğuzhan ÇİÇEKOĞLU²

²Boğaziçi Üniversitesi, M.Y.O. Elektronik Prog. 80815 Bebek-Istanbul
cicekogl@boun.edu.tr

Anahtar Kelimeler: Analog işaret işleme, Tüm-geçiren filtreler, Aktif filtreler

ABSTRACT

First order all-pass circuit is in general used for phase shifting from 0 to π while keeping the amplitude of the input signal constant over the frequency range. All-pass networks are used in active network synthesis for realization different types of active circuits such as oscillators, and high-Q bandpass filters. Therefore many realizations of all-pass networks employing different types of active elements are presented in the literature. Recently, a new active building block, current differencing buffered amplifier (CDBA) is introduced to provide new possibilities in active-RC as well as MOSFET-C circuit synthesis and to simplify the circuit implementation. The basic aim of this paper is to present several of CDBA-based all-pass filter topologies. First order all-pass filters employing single CDBA are systematically generated and five example circuits are given. The proposed filters are experimentally tested to verify the theoretical analysis.

1. GİRİŞ

Son on yılda ve özellikle geçen yıllarda, akım-geribeslemeli işlemel kuvvetlendiriciler (CFA), faz çeviren ve faz çevirmeyen ikinci kuşak akım taşıyıcıları (CCII+ ve CCII-) [1,2] gibi yeni aktif yapı blokları, daha fazla dinamik genlige sahip olmaları, daha fazla band genişliğine sahip olmaları ve düşük güçe gereksinim duymaları gibi özelliklerinden dolayı oldukça fazla beğenil kazanmışlardır. Bunun yanısıra, farklı gerilim akım taşıyıcıları (DVCC), farklı fark alan akım taşıyıcısı (DDCC), üçüncü kuşak akım taşıyıcısı (CCIII), dört ucuğu yüzen nulor (FTFN) gibi değişik tipte akım modlu devreler de literatürde yer almaktadır [3-6]. Genel olarak, bir tek birinci mertebeden tüm-geçiren devre, giriş işaretinin frekans bölgüsü boyunca sabit iken 0 dan π ye kadar faz kaydırılmasında kullanılır. Önceki çalışmalarla, akım taşıyıcı elemanlı birinci mertebeden tüm-geçiren filtreler konusu, harmoniklerin azaltılmasını ve kuadratik özellik sağlanmasından ötürü iki-elemanlı

kontrollü osilatörlerin gerçekleştirmesinde uygulama alanı bulmuştur [7]. Yukarıda adı geçen aktif elemanlar kullanılarak oluşturulan tüm-geçiren devreler de yapı blokları olarak literatürde yayımlanmıştır [8-10].

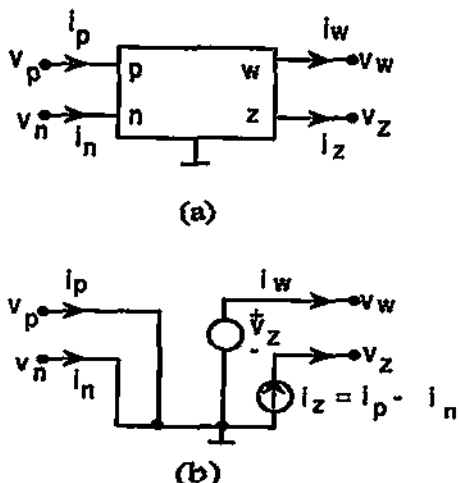
Son zamanlarda yayımlanan çalışmalarla, Acar ve Özoguz tarafından, devre sentezinde yeni imkanlar sağlamak ve devre kuruluşunu basitleştirmek için, Akım Farkını Alan Tamponlu Kuvvetlendirici (CDBA, Current Differencing Buffered Amplifier) adını alan yeni bir aktif yapı bloğu tanımlanmıştır [11-12].

Bu çalışmanın esas amacı, yeni CDBA-elemanlı birinci mertebe tüm-geçiren filtre topolojilerini sunmaktr. Tek bir CDBA-elemanlı birinci mertebe tüm-geçiren filtreler sistematik bilgisayar programı yöntemi ile elde edilmişlerdir [13] ve transfer fonksiyonları benzer fakat farklı koşul elemanlı, kazanç ayarı ve diğer özellikler sağlayan, beş farklı topoloji sunulmuştur.

2. AKIM FARKINI ALAN TAMPONLU KUVVETLENDİRİCİ (CDBA)

CDBA'nın devre simbolu Şek. 1a da, eşdeğer devresi de Şek. 1b de gösterilmiştir. Burada p ve n giriş uçları, w ve z çıkış uçlarıdır. Akım farkı alan tamponlu kuvvetlendirici (1) denklemi ile karakterize edilmiştir [11, 12].

$$\begin{bmatrix} i_z \\ v_w \\ v_p \\ v_n \end{bmatrix} = \begin{bmatrix} 0 & 0 & 1 & -1 \\ 1 & 0 & 0 & 0 \\ 0 & 0 & 0 & 0 \\ 0 & 0 & 0 & 0 \end{bmatrix} \begin{bmatrix} v_z \\ i_w \\ i_p \\ i_n \end{bmatrix} \quad (1)$$



Şek.1 a) CDBA nm devre sembolü
b) CDBA nm eşdeğer devresi

Yukarıda tanımlanan bağımlılara göre ve Şek. 1 deki eşdeğer devreye göre, z ucundan akan akım, p ve n uçlarından akan akımların farkını izlemekte, bu yüzden de z ucuna akım çıkışı denmektedir. p- ve n-uçları, straşıyla, faz döndüren ve faz döndürmeyen giriş uçlarıdır. Bumun dışında, w ucu, z ucunda oluşan gerilimi izlemekte, bu yüzden buna gerilim çıkış ucu denmektedir. Burada vurgulamak gerekdir ki üzerindeinden \$i_w\$ ve \$i_z\$ akımları akan giriş uçları içten topraklıdır. Yine vurgulamak gerekdir ki, Şek.2a da gösterildiği gibi, CDBA elemanı ticari olarak kolaylıkla bulunabilen CFA yani AD844 tılm devreleri kullanılarak veya Şek. 2b de görüldüğü gibi CMOS düzenleri ile teşkil edilebilir.

3. YENİ DEVRE TOPOLOJİLERİ

Türetilen yeni CDBA-elemanlı birinci mertebeden tılm-geçiren filtreler Şek. 3 te gösterilmiştir. Sunulan topolojilerin tasarım denklemleri de yine Şek. 3 te verilmiştir.

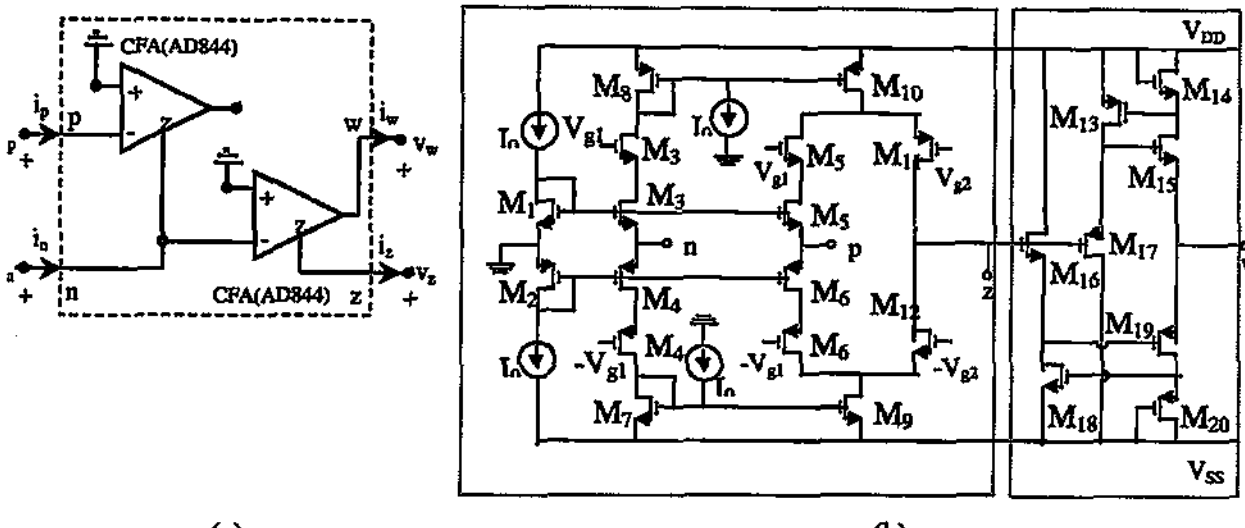


Fig. 2. a) CDBA nm CFOA larla gerçekleştirmesi [11] b) CDBA nm CMOS düzenleri ile gerçekleştirmesi[12]

Birinci mertebeden tılm-geçiren devre olarak kullanılabilenek bütün bu devrelerin karakteristik denklemleri aşağıdaki gibidir.

$$\frac{V_o(s)}{V_i(s)} = K \frac{1-s\tau}{1+s\tau} \quad (2)$$

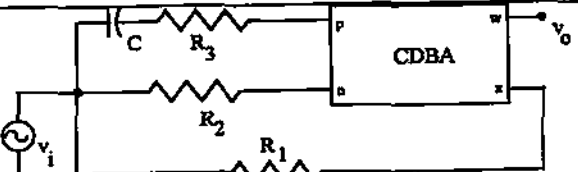
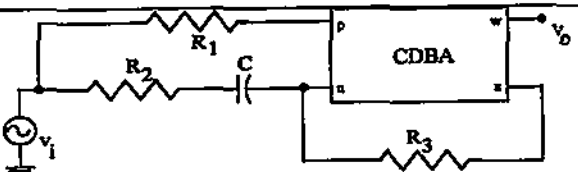
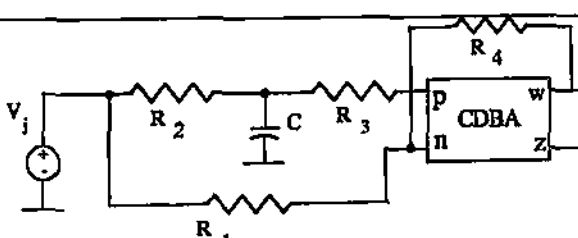
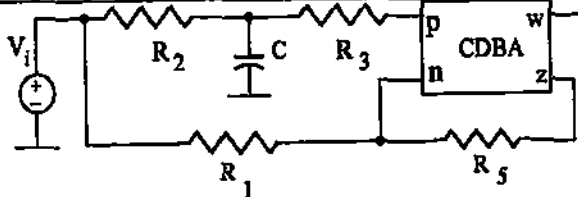
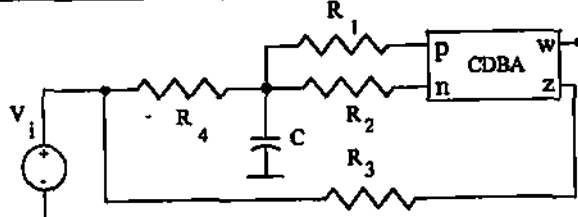
Burada K kazancı +1 veya -1 olabilmektedir. Bütün bu devreler kapasitör sayısı bakımından kanonik biçimde sahiptirler. Ideal olarak bütün devreler benzer gerilim geçiş fonksiyonlarına sahiptirler, fakat bunlar farklı devre yapılarına sahip olduklarından gerçek davranışları farklı olacaktır. Aktif hatalar göz önünde alınmak istendiğinde, aktif elemanın ideal-olmayan gerilim geçiş fonksiyonunu ele almak gereklidir. Farklı olan ideal-olmayan geçiş karakteristiği yer sınırlaması nedeniyle burada verilmeyecektir.

4. DENEYSEL SONUÇLAR

Üretilen bütün tılm-geçiren filtreler Şek.2a da görüldüğü gibi, CDBA elemanını Analog Devices firmasımcı imal edilen CFA tipi AD844 tılmdevresi [14] ile gerçekleşterek deneye tabi tutulmuşlardır. Doğru gerilim besleme düzleminin gerilimi \$V_{CC}=12V\$ ve \$V_{EE}=-12V\$ olarak alınmıştır. Sunulan devrelerin başarımı (performans) göstermek üzere örnek olarak 2nci topolojiye ilişkin pasif eleman değerleri \$C_1=10\text{nF}\$, \$R_1=1\text{k}\Omega\$, \$R_2=0.5\text{k}\Omega\$, \$R_3=2\text{k}\Omega\$ olarak alındığında \$90^\circ\$ lik faz kaymasının meydana geldiği kutup frekansı \$f_p=31.8\text{kHz}\$ olarak elde edilmiştir. 2nci topoloji için elde edilen faz ve genlik karakteristiklerine ilişkin sonuçlar Şek. 4 te gösterilmiştir. Şek. 4 e bakılarak vurgulamak gerekdir ki, devrenin K gerilim kazancı, yük ve ideal-olmama etkilerinden dolayı birim-kazançtan biraz büyütür. Yüksek frekanslarda ideal

devre ile karşılaştırıldığında deneyisel devre ile ilişkin faz ve genlik karakteristiklerindeki sapmalar.

Kullanılan AD844 tümdenresinin frekans bandının sınırlı olmasından kaynaklanmaktadır.

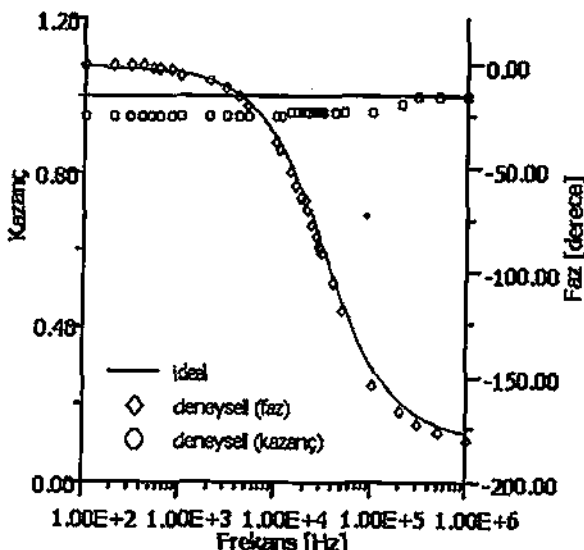
 topoloji1	$\frac{V_o}{V_i} = -\frac{G_2 - G_1}{G_1} \frac{1 - sC \frac{G_1 - (G_2 - G_3)}{G_3(G_2 - G_1)}}{1 + sC \frac{1}{G_3}}$ $K = -1$ $2G_1 = G_2 = G_3$
 topoloji2	$\frac{V_o}{V_i} = \frac{G_1}{2G_3} \frac{1 - sC \frac{G_2 - G_1}{G_1 G_2}}{1 + sC \frac{1}{G_2}}$ $K = 1$ $G_1 = 2G_3 = G_2 / 2$
 topoloji3	$\frac{V_o}{V_i} = K \frac{\frac{1 - sC \frac{G_1}{G_3(G_2 - G_1) - G_1 G_2}}{1 + sC \frac{1}{(G_2 + G_3)}}}{1}$ $K = 1$ $G_1 = G_4$ $G_2 G_3 = 2G_4(G_2 + G_3)$
 topoloji4	$\frac{V_o}{V_i} = K \frac{\frac{1 - sC \frac{G_1}{G_3(G_2 - G_1) - G_1 G_2}}{1 + sC \frac{1}{(G_2 + G_3)}}}{1}$ $K = 1$ $G_1 = 2G_3$ $4G_3(G_2 + G_3) = G_2 G_3$
 topoloji5	$\frac{V_o}{V_i} = K \frac{\frac{1 - sC \frac{G_4}{G_2(G_1 - G_3) - G_4(G_1 + G_2 + G_3)}}{1 + sC \frac{1}{(G_1 + G_2 + G_3)}}}{1}$ $K = -1$ $G_2(G_1 - G_3) = 2G_4(G_1 + G_2 + G_3)$

Sek. 3. Türetilen birinci mertebe tüm-geçiren filtre topolojileri ve tasarımla ilişkin denklemleri

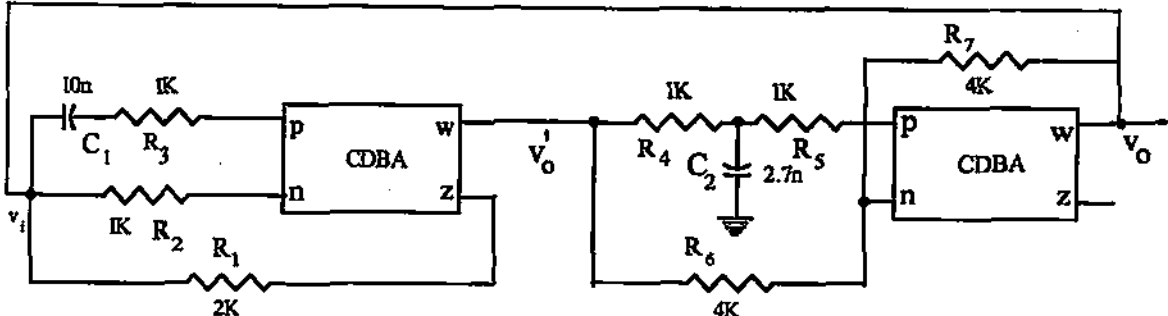
Sek. 3 teki diğer devre topolojilerinin karakteristiklerinde de aynı frekans bölgesinde külçük de olsa sapmalar olmaktadır. Sunulan devre topolojilerinin uygulamasına örnek olarak Sek. 3 te verilen tüm-geçiren filtrelerden iki tanesi ardarda bağlanarak birim-kazançlı geribesleme çevrimi oluşturarak bir osilatör devresi kurulup çalıştırılabilir. Sek. 5 te böyle bir devre görülmektedir. Osilasyon açısal frekansı (3) bağıntısı ile hesaplanabilir.

$$\omega_o = \frac{1}{\sqrt{\tau_1 \tau_2}} \quad (3)$$

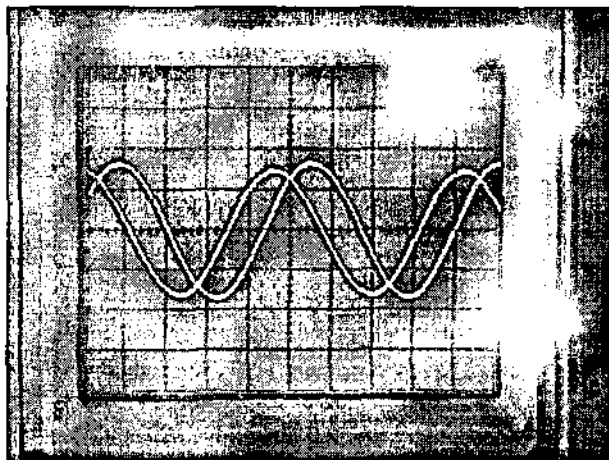
Burada $\tau_1 = C_1 R_3$ ve $\tau_2 = C_2 (R_4/R_3)$ dir. (3) bağıntısı kullanılarak hesaplanan osilasyon frekansı $f_{osc} = 132.978 \text{ kHz}$ dir. Bu değer deneyel olarak ölçülen $f_{osc} = 134.510 \text{ kHz}$ değeri ile karşılaştırıldığında bunun teorik değere oldukça yakınlığı görülmür.



Şek. 4. Şekil 3 teki 2nci topolojiye ilişkin genlik ve faz karakteristikleri



Şek. 5 Bir uygulama örneği olarak iki türmgeçiren filter kullanılarak kurulan kuvadratik sinyüsal osilatör



Şekil 6. Şekil 5 teki osilatör devresinin V_o ve V_z çıkışlarına ilişkin dalga şekilleri (5V/div, 2μs/div)

5. SONUÇ

Tek bir CDBA, tek bir kapasitor ve üç ile dört direnç kullanılarak birbirinden farklı beş tane birinci mertebeden türmgeçiren filtre topolojileri sunulmuştur. Teklif edilen bu devreler devre sentezine esneklik sağlayan iki farklı geçiş fonksiyonuna sahip türmgeçiren filtre tipinden türetimleriştir. Ideal olarak devrelerin

Şek. 6 da ise V_o ile V_z uçlarındaki gerilimlerin deneysel olarak elde edilen dalga şekilleri görülmektedir. Osilatör devresinde kullanılan devrelerden pozitif kazançlı olanının transfer fonksiyonu gözönüne alındığında buna faz cevabının

$$\varphi_1(\omega) = -2\operatorname{arctg}(\omega C_2 (R_4 // R_5))$$

negatif kazançlı olanının ise faz cevabının

$$\varphi_1(\omega) = 180 - 2\operatorname{arctg}(\omega C_1 R_3)$$

şeklinde hesaplandığı gözönüne alındığında Şek. 6 daki her iki çıkışın dalga şekilleri arasındaki faz farkının 90° olduğu görülmür.

hepsi benzer geçiş fonksiyonuna sahip olmasına rağmen, ideal olmama cevapları, bütün topolojilerin farklı fiziksel devreler olmalarından dolayı, farklıdır. Aktif elemandan gelen hataların, CDBA'nın z ucundaki sonlu değerdeki direncin ve p ve n uçlarındaki dirençlerin sıfır olmayışının etkisi gözönüne alındığında, elde edilecek olan ideal-olmayan transfer fonksiyonları genel olarak farklı olacaktır. Çok sayıda sunulan topolojiler içinden yapılacak bir tasarıma uygun devre seçimi imkanı sağlanmaktadır. Bu devreler, kazanç sabiti, τ ve K 'nın bağımsız ayarlanabilirliği ve tabloda verilen diğer büyüklükler gibi, aynı isimli çeşitli parametreleri gözönüne alarak kolaylıkla karşılaştırılabilir. Belirtmekte ve vurgulamakta yarar vardır: Sunulan devre topolojileri sistematik çalışma sayesinde elde edilmişlerdir ve elde edilecek yeni topolojilerin sunulan topolojilerle sınırlı olmayacağı belliidir.

KAYNAKLAR

- Wadsworth, D.C.: Accurate Current Conveyor Integrated Circuit. In: Electronics Letters, Vol 25, Iss 18, 1989, p.1251-1252
- Chang, C.M., Hwang, C.S., and Tu, S.H.: Voltage-Mode Notch, Lowpass and Bandpass

- Filter Using Current-Feedback Amplifiers.* In: Electronics Letters, Vol 30, Iss 24, 1994, p.2022-2023
- Elwan, H.O., Soliman A.M.: *Novel CMOS Differential Voltage Current Conveyor and its Applications.* In: IEEE Proceedings Pt.G, vol.144, Iss 3, 1997, p.195-200.
- Chiu, W., Liu, S.L., Tsao, H.W., Chen, J.J.: *CMOS Differential Difference Current Conveyors and their Application.* In: IEE Proceedings Pt.G, vol.143, Iss 2, 1996, p.91-96.
- Huijsing, J.H., De Korte J.: *Monolithic nullor: A universal active element.* In: IEEE J. Solid-State Circuits, Vol. Sc-12, 1997, p.50-64.
- Fabre, A.: *3rd-Generation Current Conveyor - A New Helpful Active Element.* In: Elektronics Letters, Vol 31, Iss 5, 1995, p 338-339.
- Vosper, J.V., Heima, M.: *Comparison of single- and dual-element frequency control in a CCII-based sinusoidal oscillator.* In: Electronics Letters, Vol 32, Iss 25, 1996, p.2293-2294.
- Chang, C.M.: *Current Mode Allpass Notch and Bandpass Filter Using Single CCII.* In: Electronics Letters, Vol 27, Iss 20, 1991, p.1812-1813.
- Higashimura, M., Fukui, Y.: *Realization of All-Pass and Notch Filters Using a Single Current Conveyor.* In: International Journal of Electronics, Vol 65, Iss 4, 1988, p.823-828.
10. Salawu, R.I.: *Realization of an All-Pass Transfer Function using the Second Generation Current Conveyor.* Proceedings of the IEEE, Vol 68, Iss 1, 1980, p.183-184.
11. Acar C., Özoguz S.: *A new versatile building block: current differencing buffered amplifier suitable for analog signal processing filters.* In: Microelectronics Journal, Vol.30, 1999, p.157-160.
12. Özoguz S., Toker A., Acar C.: *Current-mode continuous time fully integrated universal filters.* In: Electronics Letters, Vol.35, No.2, 1999, p. 97-98.
13. Çiçekoğlu O., Kuntman, H.H.: *Circuit design techniques: AD-HOC methods or systematic generation methods.* In: Proc. of 10th Int. Conf. On Microelectronics (ICM'98), December 14-16, Monastir, Tunisia, 1998, p.187-190.
14. Analog Devices Inc.: *Linear Products Data Book.*, 1990, (Norwood, Massachusetts, U.S.A.)
15. Özcan S., Kuntman H., Toker A., Çiçekoğlu O.: *All-pass Filters Employing a Newly Introduced Active Element: CDBA, Current Differencing Buffered Amplifier.* In Proc. of 7th Int. Conf. On Optimization of Electrical and Electronic Equipment (OPTIM'2000), Brasov, May 11-12, 2000